

Presenting a New Method of Image Steganalysis Based on MLP Neural Network

S. Talati, R. Esfahani*

Abstract

The ever-increasing development of telecommunications has made secure transmission one of the most important issues today. Since there is a high hiding capacity in the image, the use of image encryption is much more common than other methods of encryption. This article uses the covert imaging technique with the wavelet transform method, and the results show that this method has high resistance. For the analysis of hidden images, an algorithmic wavelet transform method using matrix features (GLCM) and co-occurrence vectors (DCL) is presented. After checking these values in the original and cover images, the different features between these images are extracted and used to train the multilayer neural network (MLP). The classification stage has been performed using the layers of this neural network and the proposed algorithm has been tested for a database of 200 standard images (Casia-Iris). The detection accuracy of 90% of the hidden images in the proposed method shows the superiority of this hidden mining method over other methods.

Key Words: *Steganography, Steganalysis, Wavelet Transform, Co-occurrence Matrix, MLP Neural Network*

This article is an open-access article distributed under the terms and conditions of the Creative Commons Attribution (CC BY) license.

Publisher: Imam Hussein University



*Assistant Professor, Faculty of Computer and Communication Engineering Department, Imam Hossein University, Tehran,Iran
(resfahani@ihu.ac) - Writer-in-Charge

نشریه علمی پژوهش‌گری عال

سال چهاردهم، شماره ۴، زمستان ۱۴۰۲ (پاپی ۵۵)؛ صص ۳۲-۲۱

علمی - پژوهشی

ارائه مدل جدید نهان‌کاوی هوشمند تصویر مبتنی بر شبکه عصبی MLP

*سعید طلعتی^۱، رضا اصفهانی^۲

تاریخ دریافت: ۱۴۰۲/۰۱/۱۱

تاریخ پذیرش: ۱۴۰۲/۰۴/۰۶

چکیده

پیشرفت روزافزون مخابرات، انتقال امن را به یکی از مهم‌ترین مسائل امروزه تبدیل کرده است. از آنجا که در تصویر ظرفیت پنهان شدن بالایی وجود دارد استفاده از پنهان‌نگاری تصویر نسبت به سایر روش‌های پنهان‌نگاری بسیار مرسوم‌تر است. در این مقاله از روش پنهان‌نگاری به روش تبدیل موجک استفاده شده که نتایج نشان می‌دهد این روش از مقاومت بالایی بهره می‌برد. و برای تحلیل تصاویر پنهان‌شده به روش تبدیل موجک الگوریتمی با استفاده از ویژگی‌های ماتریس (GLCM) و بردارهای هم‌رخدادی (DCL) ارائه شده است. پس از بررسی این مقادیر در تصاویر اصلی و کاور، ویژگی‌های متفاوت بین این تصاویر استخراج و برای آموزش شبکه عصبی چندلایه (MLP) استفاده می‌شوند. مرحله طبقه‌بندی با استفاده از لایه‌های این شبکه عصبی انجام‌شده و الگوریتم پیشنهادی برای پایگاه داده ۲۰۰ تصویر استاندارد (Casia-Iris) تست شده است. دقت آشکارسازی ۹۰٪ تصاویر پنهان‌شده در روشن‌کاوی برتری این روش نهان‌کاوی در برابر سایر روش‌ها را نشان می‌دهد.

کلیدواژه‌ها: پنهان‌نگاری، نهان‌کاوی، تبدیل موجک، ماتریس هم‌رخدادی، شبکه عصبی MLP



نویسنده‌گان (C)

* این مقاله یک مقاله با دسترسی آزاد است که تحت شرایط و ضوابط مجوز Creative Commons Attribution (CC BY) توزیع شده است.

ناشر: دانشگاه جامع امام حسین (ع)

^۱ دانشجوی دکتری دانشگاه علوم و فنون هواشناسی شهید ستاری، تهران، ایران

^۲ استادیار دانشگاه جامع امام حسین(ع)، تهران، ایران (resfahani@ihu.ac.ir) – نویسنده مسئول

پرداخته می‌شود و در انتهای تحلیل با استفاده از روش پیشنهادی شبکه عصبی چندلایه MLP ارائه و با سایر روش‌های پیشنهادی مقایسه و مزیت آن بیان خواهد شد.

۲- مشخصه‌های یک سیستم پنهان‌نگاری

سه عامل مهم در پنهان‌نگاری که همیشه یک مصالحه^۷ بین آن‌ها وجود دارد، عبارت‌اند از ظرفیت، مقاومت و شفافیت. بهینه‌سازی پارامترهای متقابل رقابتی است و به‌وضوح نمی‌تواند در یک‌زمان انجام شود.

۲-۱- شفافیت

پنهان‌پذیری^۸ یا ادراک‌نپذیری^۹ با توجه به سیستم ادراکی^{۱۰} (شنیداری و دیداری) انسان مطرح می‌شود و عبارت است از میزان مصون ماندن از تغییری که در اثر درج اطلاعات در رسانه‌ی میزبان از نظر ادراکی رخ می‌دهد [۶].

۲-۲- مقاومت

مقاومت یا پایداری^{۱۱} در برابر حملات عمدى و غیرعمدى مطرح بوده و بیان گر این است که الگوریتم استخراج تا چه حد توانایی بازیابی سیگنال اصلی را از روی سیگنال دریافتی (بعد از حمله) دارد [۶].

۲-۳- ظرفیت

ظرفیت^{۱۲} عبارت است از حداکثر مقدار داده قابل ذخیره‌سازی در حامل بدون آشکارسازی. گاهی از این مفهوم با عنوان بازده^{۱۳} نامبرده می‌شود [۶].

۳- معیارهای متداول ارزیابی پنهان‌نگاری

به‌منظور ارزیابی منطقی عملکرد انواع روش‌های پنهان‌نگاری، نیاز به تعیین برخی معیار قابل‌پذیرش توسط اکثربت داریم. بنابراین قبل از بررسی روش‌های پنهان‌نگاری در فضاهای رنگ مختلف، معیارهای متداول مقایسه روش‌های پنهان‌نگاری موردنرسی قرار داده شده است. سه نیازمندی متداول امنیت، ظرفیت و نامحسوس بودن؛ معیارهایی برای میزان عملکرد روش‌های پنهان‌نگاری استفاده شود.

۱- مقدمه

پنهان‌نگاری^۱ هنر و علم ارتباط پنهانی است که هدف آن پنهان کردن ارتباط بهوسیله قرار دادن پیام در یک پوشانه (رسانه‌ای که این قابلیت را دارد تا اطلاعاتی را در آن پنهان کنیم مانند تصویر، صوت یا هر دیتای ممکن) است به‌گونه‌ای که کمترین تغییر قابل کشف را در آن ایجاد نماید و نتوان موجودیت پیام پنهان در رسانه را حتی بهصورت احتمالی آشکار ساخت [۱]. در پنهان‌نگاری هدف مخفی کردن هرگونه نشانه‌ای از وجود پیام است [۲]. درواقع برتری پنهان‌نگاری در این است که می‌توان پیغامی را فرستاد بدون این‌که کسی بفهمد پیغامی فرستاده شده است [۳]. به علت آن‌که در گ تصویری انسان از تغییرات در تصاویر محدود است، تصاویر یکی از مهمترین رسانه‌های مورداستفاده در پنهان‌نگاری، بهخصوص در اینترنت است الگوریتم‌های پنهان‌نگاری متعددی در حوزه‌های مکان و فرکانس برای ساختارهای مختلف تصاویر ارائه شده است. یکی از مهمترین و متداول‌ترین روش‌های پنهان‌نگاری در تصاویر در حوزه مکان روش بیت کم‌ارزش و در حوزه فرکانس روش تبدیل موجک^۲ است [۴].

در کنار گسترش روش‌های مختلف پنهان‌نگاری اطلاعات در تصاویر، روش‌های متنوعی نیز برای مقابله با آن تحت عنوان نهان‌کاوی ایجاد شده است که هدف آن استفاده از ویژگی‌های تصاویر و الگوریتم‌های پردازشی برای کشف اطلاعات پنهان شده است. توانایی کشف پیام در تصویر تحت تأثیر فاکتورهای مختلفی قرار دارد که از جمله می‌توان به طول پیام پنهان شده، درصد پنهان‌سازی اطلاعات، نوع پوشانه (صوت، تصویر و متن)، فرمت پوشانه انتخابی، روش جاسازی متن موردنظر در پوشانه اشاره کرد [۵]. طی سال‌های گذشته، همزمان با پیشرفت روش‌های هوشمند، شاهد به کارگیری این روش‌ها در زمینه‌های مختلف هستیم. در همین رابطه روش‌هایی مانند: هوشمند بیزین^۳، منطق فازی^۴، شبکه عصبی^۵ و الگوریتم ژنتیک^۶ در تحلیل پنهان‌نگاری کاربرد دارند.

در ادامه ابتدا مشخصه‌های یک سیستم پنهان‌نگاری بیان می‌شود و پس از آن معیارهای متداول ارزیابی پنهان‌نگاری بررسی می‌شود سپس پنهان‌نگاری با روش پیشنهادی تبدیل موجک تشریح شده و مزایا این روش شرح داد می‌شود. پس از آن نهان‌کاوی توضیح داده شده و به استخراج ویژگی‌های تصویر

⁷ Trade off

⁸ Visibility, Transparency or Fidelity

⁹ Imperceptibility

¹⁰ Subjective

¹¹ Robustness

¹² Capacity

¹³ Payload

¹ Steganography

² Wavelet transform

³ Bayesian

⁴ Fuzzy logic

⁵ Neural Network(NN)

⁶ Genetic algorithm

$$BER = \left(\left(\sum_{i=1}^l (M(i) - M'(i))^2 \right) / l \right) * 100 \quad (۳)$$

که $M(i)$ ، بیت i پیام تعبیه شده در تصویر و $M'(i)$ ، بیت i پیام استخراج شده است. همچنین L طول پیام یا تعداد کل بیت‌های تعبیه شده در تصویر است. بدینهی است هرچه مقدار BER کمتر باشد، روش بهتر و مطلوب‌تر است[۷].

۴- پنهان‌نگاری با استفاده از تبدیل موجک گسسته (DWT)

تبدیل موجک در ابتدای دهه ۱۹۸۰ معرفی گردید، از آن زمان تاکنون انواع متفاوتی از تبدیلات موجک توسعه یافته‌اند. مشهورترین نسخه این تبدیلات، تبدیل موجک گسسته^۱ است که بهترین خواص فشرده‌سازی سیگنال را برای دسته بسیاری از سیگنال‌های دنیای واقعی همراه با جنبه‌های محاسباتی بسیار کارا دارد و به همین علت در زمینه‌های فشرده‌سازی تصویر، انگرال‌گیری عددی و بازناسی الگو بکار می‌رود.

با توجه به اینکه شبکه چشم انسان تصاویر را به چندین کانال فرکانسی تقسیم می‌کند که پنهانی باند هر یک از این کانال‌ها تقریباً یک اکتاو است؛ سیگنال‌های هر یک از این کانال‌ها در مغز به طور جداگانه پردازش می‌شوند. در تبدیل موجک نیز تصویر به باندهای فرکانسی تقریباً مساوی با مقیاس لگاریتمی تقسیم می‌گردد و به همین خاطر تغییرات ایجاد شده در حوزه تبدیل موجک، برای چشم انسان کمتر قابل تشخیص است.

۴- پنهان‌نگاری با استفاده از تبدیل موجک گسسته

الگوریتم پنهان‌نگاری با استفاده از تبدیل موجک گسسته در تصویر به صورت زیر است:

- از تصویر حامل تبدیل موجک گرفته می‌شود.
- پیام سری به کد اسکی^۲ و یکرشته از بیت‌های صفر و یک تبدیل می‌گردد.
- رشتہ بیتی در لابه‌لای ردیف‌های یکی از چهار جزء تبدیل موجک پنهان می‌گردد.
- مراحل این روش در شکل (۱) آورده شده است.

۱-۳- معیار میانگین مربعات خطأ (MSE)

MSE معیاری برای محاسبه میانگین مربعات خطأ است. این خطأ به وسیله تفرقه مقدار پیکسل از تصویر اصلی با تصویر پس از پنهان‌نگاری است.

رابطه (۱) برای محاسبه میانگین مربعات خطأ در تصاویر رنگی است.

$$MSE = \frac{\sum_{(m,n)} (x(m,n) - y(m,n))^2}{N1 * N2} \quad (۱)$$

که در این رابطه $x(m,n)$ مقدار پیکسل تصویر اصلی و $y(m,n)$ مقدار پیکسل تصویر با پنهان‌نگاری و $N1$ و $N2$ مشخص کننده ارتفاع و عرض تصویر هستند[۷].

۲-۳- معیار سیگنال به نویز (SNR)

یکی از ویژگی‌های پنهان‌نگاری غیرقابل مشاهده بودن (نامحسوس بودن) است اما از آنجاکه این معیار دقیق نیست باید معیاری تعریف شود تا توسط آن بتوان کارایی الگوریتم‌ها را در زمینه‌ی حفظ امنیت بستجیم، که این معیار سیگنال به نویز (SNR) است که نشان‌دهنده میزان نویز اضافه شده به تصویر در اثر تعبیه اطلاعات در تصویر است. واحد این معیار دسی‌بل (db) است.

هرچه مقدار SNR بیشتر باشد تصویر حاوی پیام پنهان از کیفیت ظاهری بهتری برخوردار است. غالباً مقدار SNR بیش از ۳۵ دسی‌بل از نظر درک نشدن تغییرات توسط انسان قابل قبول است. SNR به صورت ذیل محاسبه می‌شود[۷].

$$SNR = 10 \log \frac{\sum_{(m,n)} x^2(m,n)}{\sum_{(m,n)} (y(m,n) - x(m,n))^2} \quad (۲)$$

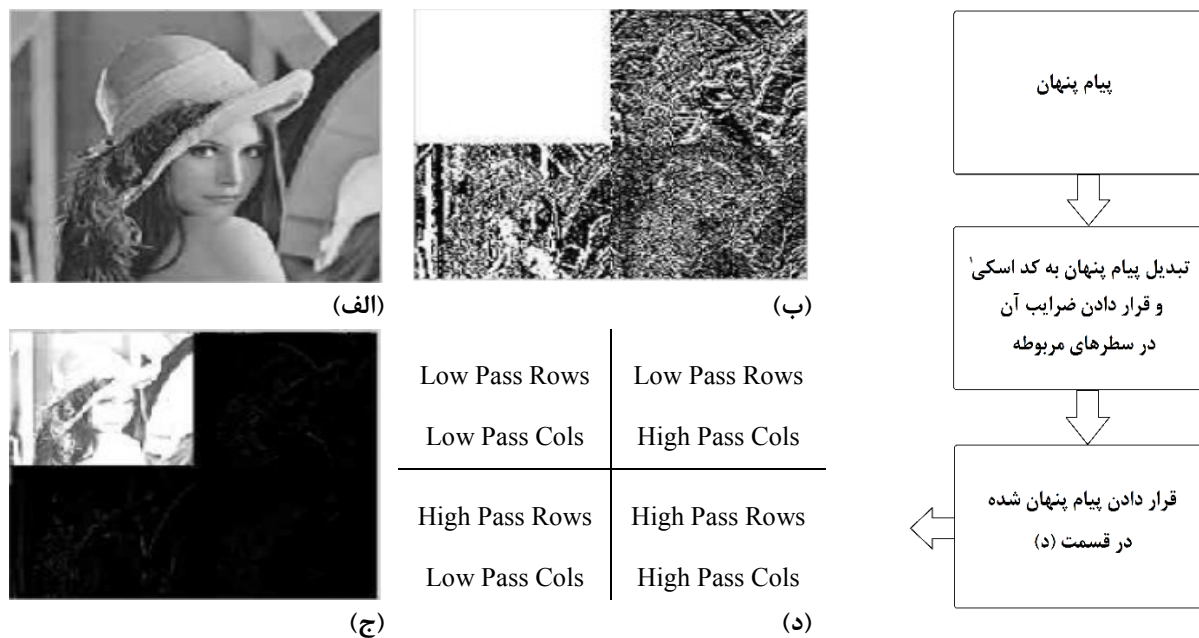
که در این رابطه $x(m,n)$ مقدار پیکسل تصویر اصلی و $y(m,n)$ مقدار پیکسل تصویر با پنهان‌نگاری است[۷].

۳-۳- معیار نرخ خطای بیت (BER)

از این معیار به منظور محاسبه خطای حاصل از تعبیه و بازیابی اطلاعات از تصویر استفاده می‌شود و به صورت درصد بیت‌های اشتباه استخراج شده از تصویر، نسبت به کل بیت‌های تعبیه شده در تصویر پوشش بیان می‌شود که این معیار از رابطه (۲) محاسبه می‌شود[۷].

¹ DWT= Descrete Wavelet Transform

² ASCII

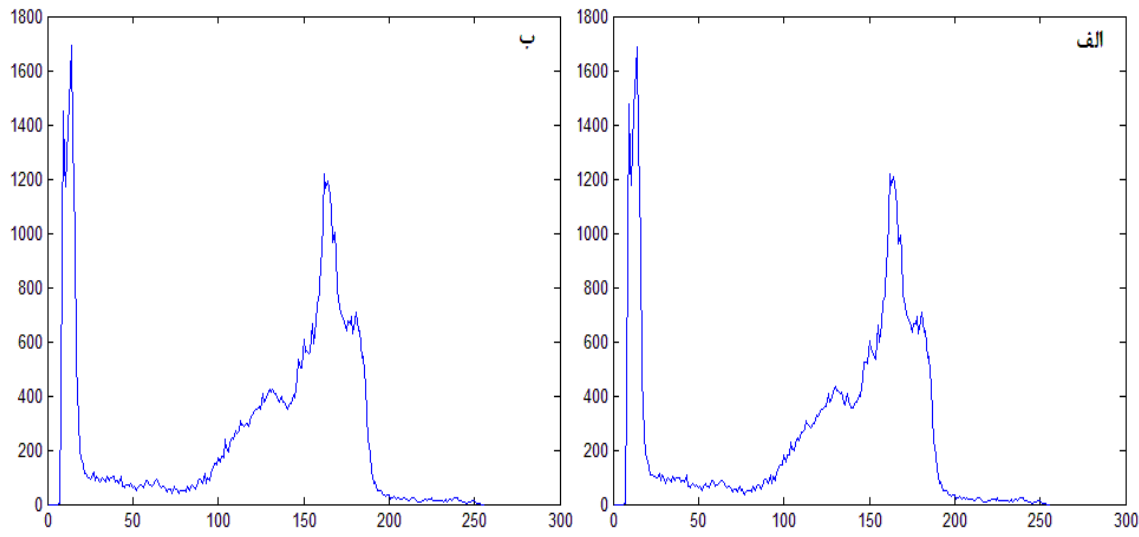


شکل (۱): مخفی کردن اطلاعات در تصویر به روش تبدیل موجک [۸]

۴-۱- تحلیل نتایج پنهان‌نگاری با استفاده از تبدیل موجک گسسته

هیستوگرام تصویر پنهان‌نگاری شده اختلاف بسیار کمی با هیستوگرام تصویر اصلی دارد. لذا پنهان‌نگاری با این روش مقاومت بسیار بالایی در مقابل تحلیل هیستوگرام دارد.

شکل (۲) هیستوگرام‌های تصویر اصلی و تصویر با پنهان‌نگاری شده نشان می‌دهد. با دقت در مقایسه این هیستوگرام‌ها نتایج زیر حاصل می‌گردد:



شکل (۲): هیستوگرام (الف: تصویر اصلی) و (ب: تصویر پنهان‌نگاری) در روش تبدیل موجک [۹]

پیاده‌سازی بانک فیلتر شناخته شده را می‌توان برای استفاده جهت محاسبه DWT دوبعدی بکار برد، که ساختار هرمی را نتیجه می‌دهد.

تبدیل DWT یک تبدیل جدائی‌پذیر است، یک DWT دوبعدی را می‌توان با اعمال دو بار متوالی DWT یک بعدی، که ابتدا بر روی سطوح و سپس بر روی ستون‌های تصویر اعمال شود پیاده نمود.



شکل (۳): شکل (الف) تصویر اصلی، شکل (ب) تصویر با پنهان‌نگاری

پنهان‌شده است. توانایی کشف پیام در تصویر تحت تأثیر فاکتورهای مختلفی قرار دارد که از جمله می‌توان به طول پیام پنهان‌شده، درصد پنهان‌سازی اطلاعات، نوع پوشانه (صوت، تصویر و متن)، فرمت پوشانه انتخابی، روش جاسازی متن موردنظر در پوشانه اشاره کرد. معمولاً نهان‌کاوی برای رسیدن به دو هدف جاسازی شده است. پیدا کردن و دوم نابودی پیام‌های جاسازی شده است. پیدا کردن پیام‌ها که بسیار مفیدتر از نابودی آن است می‌تواند به دودسته کلی تقسیم شود، عکس‌ها و متن‌ها. با وجود روش‌های بسیار زیاد، پیدا کردن یک پیام مخفی شده در حجم عظیمی از متن‌ها که جابجا می‌شوند کار بسیار دشوار و تقریباً غیرممکن است.

قسمت (الف) شکل (۳) تصویر اصلی و قسمت (ب) تصویر پنهان‌نگاری شده به روش تبدیل موجک را نشان می‌دهد. تبدیل موجک گسسته دارای مزایای زیادی است که این تبدیل را به روش برتر و روزآمد علم پنهان‌نگاری تبدیل نموده است.

۵- نهان کاوی

در کنار گسترش روش‌های مختلف پنهان‌نگاری اطلاعات در تصاویر، روش‌های متنوعی نیز برای مقابله با آن تحت عنوان نهان‌کاوی [۱۰] ایجاد شده است که هدف آن استفاده از ویژگی‌های تصاویر و الگوریتم‌های پردازشی برای کشف اطلاعات

1	1	5	6	8										
2	3	5	7	1										
4	5	7	1	2										
8	5	1	2	5										
					GCM	1	2	0	0	1	0	0	0	
						0	0	1	0	1	0	0	0	
						0	0	0	0	1	0	0	0	
						0	0	0	0	1	0	0	0	
						1	0	0	0	0	1	2	0	
						0	0	0	0	0	0	0	1	
						2	0	0	0	0	0	0	0	
						0	0	0	0	1	0	0	0	

شکل (۴): ماتریس هم‌خدادی GLCM [۱۱].

باشد، استفاده شده است. همبستگی مقادیر میان پیکسل‌های مجاور در یک تصویر به حدی زیاد است که اگر لبه‌ها را در یک تصویر حذف کنیم، تفاوت مقدار یک پیکسل با پیکسل‌های مجاورش کم و یا صفر می‌شود. درنتیجه با توجه به همبستگی

با توجه به این که پنهان‌نگاری و جاسازی اطلاعات در تصویر باعث ایجاد تغییرات در مقادیر پیکسل‌های تصویر و به تبع آن در مقادیر ماتریس GLCM می‌گردد، در این مقاله از این تغییرات برای استخراج ویژگی‌هایی که در تصاویر پوشانه با گنجانه متفاوت



شکل (۵): تصویر لنا

شدید میان پیکسل‌های مجاور در تصاویر، مقادیر قطر اصلی ماتریس GLCM موردنبررسی قرار داده خواهد شد. بدین منظور ابتدا از تصویر پوشانه (لنا) استفاده می‌شود، GLCM محاسبه و مجموع مقادیر روی قطر اصلی آن حساب خواهد شد. سپس به روش تبدیل موجک، اطلاعاتی را در تصویر لنا مخفی کرده و این تصویر را "imagesteg1" می‌نامیم. درنهایت مجدد اطلاعاتی را در "imagesteg1" ذخیره کرده و تصویر "imagesteg2" محاسبه می‌شود. از "imagesteg2" نیز GLCM گرفته می‌شود و مجموع مقادیر روی قطر اصلی آن محاسبه می‌شود. در مرحله بعد تفاوت مجموع مقادیر قطر اصلی دو تصویر لنا و "imagesteg1" و "imagesteg2" همچنین دو تصویر "imagesteg1" و "imagesteg2" را محاسبه خواهد شد. برای تصویر استاندارد لنا که در شکل (۵) آمده است، این مقادیر محاسبه و در جدول (۱) ذکر شده است.

جدول (۱): نتیجه ویژگی‌های استخراج شده از ماتریس GLCM تصویر لنا

۳۷۵۲۹	مجموع مقادیر قطر اصلی برای تصویر لنا
۳۲۴۷۵	"imagesteg1" مجموع مقادیر قطر اصلی برای تصویر
۳۲۰۳۰	"imagesteg2" مجموع مقادیر قطر اصلی برای تصویر
۵۰۵۴	(ویژگی ۱) تفاوت مجموع مقادیر قطر اصلی در دو تصویر لنا و "imagesteg1"
۴۴۵	(ویژگی ۲) تفاوت مجموع مقادیر قطر اصلی در دو تصویر "imagesteg1" و "imagesteg2"

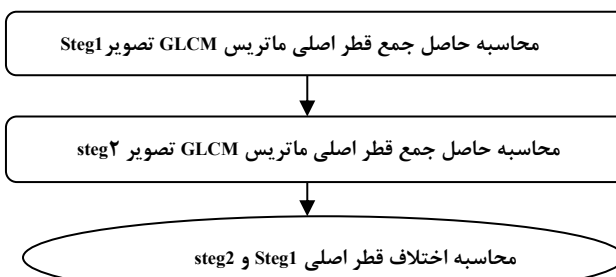
تصویر "۶۴×۶۴" استخراج شده). در پایان ویژگی‌های استخراج شده برای هر تصویر، میانگین ویژگی‌های به دست آمده از هر بخش است. نتایج این تغییر برای تصویر لنا در جدول (۲) نشان داده شده است.

چون طیف رنگ تصویر در نقاط مختلف تصویر متغیر است، بهتر است تصویر به بخش‌های کوچک‌تر تقسیم شود. از این‌رو هر تصویر به تصویرهایی با ابعاد "۶۴×۶۴" تقسیم شده (یک تصویر "۲۵۶×۲۵۶" به ۱۶ تصویر "۶۴×۶۴" تبدیل شده و ویژگی‌های هر

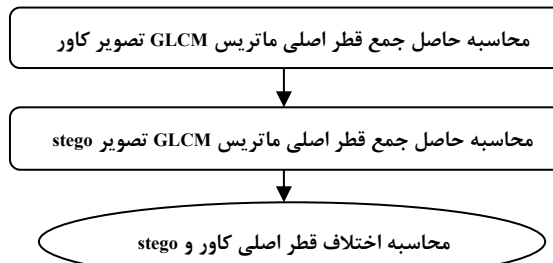
جدول (۲): نتیجه ویژگی‌های استخراج شده از ماتریس GLCM تصویر لنا بعد از میانگین‌گیری

۷۸۱۳/۵۷۱	مجموع مقادیر قطر اصلی برای تصویر لنا
۵۱۸/۲۳۸۴	"imagesteg1" مجموع مقادیر قطر اصلی برای تصویر
۵۱۶/۴۳۸۴	"imagesteg2" مجموع مقادیر قطر اصلی برای تصویر
۵۳/۵۴۲۹	(ویژگی ۱) تفاوت مجموع مقادیر قطر اصلی در دو تصویر لنا و "imagesteg1"
۱/۸	(ویژگی ۲) تفاوت مجموع مقادیر قطر اصلی در دو تصویر "imagesteg1" و "imagesteg2"

الگوریتم ویژگی‌های ۱ و ۲ در قسمت (الف و ب شکل (۶)) بیان شده است.



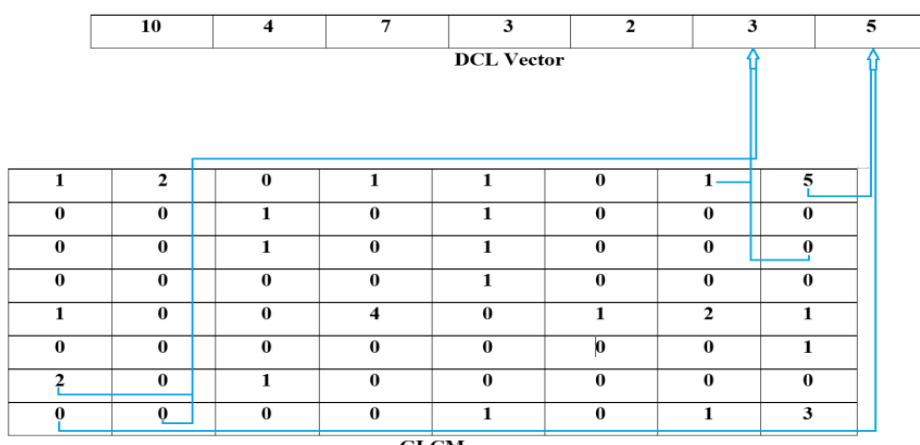
شکل (۶)الف: استخراج ویژگی ۱ از ماتریس GLCM



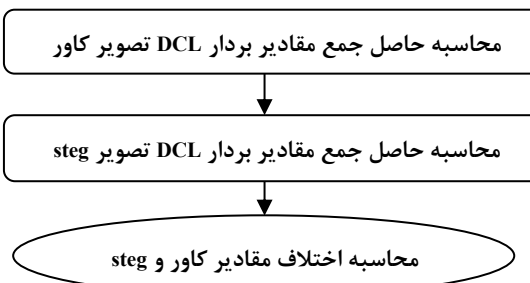
شکل (۶)ب: استخراج ویژگی ۲ از ماتریس GLCM

ویژگی مؤثر از ماتریس هم‌رخدادی را نشان می‌دهد. درواقع در این روش ماتریس‌های هم‌رخدادی جایگزین ماتریس تصویر شده است و قدر مطلق تفاضل سطر و ستون ماتریس‌های هم‌رخدادی، شماره ستون بردار DCL را می‌سازد. ارزش هریک از درایه‌های بردار هم‌رخدادی برابر مجموع درایه‌هایی از ماتریس‌های هم‌رخدادی است که قدر مطلق تفاضل سطر و ستون آن‌ها برابر موقعیت مکانی ستون آن درایه است. درایه اول بردار هم‌رخدادی مربوط به مجموع مقادیر درایه‌هایی از ماتریس‌های هم‌رخدادی است که تفاوت سطر و ستون آن‌ها برابر ۱ است. درایه دوم بردار DCL مربوط به مجموع درایه‌هایی از ماتریس‌های هم‌رخدادی است که قدر مطلق تفاضل سطر و ستون آن‌ها برابر ۲ است. به همین ترتیب ۷ سطح تغییر بین سطرو ستون درایه‌های ماتریس هم‌رخدادی دلیل ایجاد درایه هفتم بردار DCL بوده است.

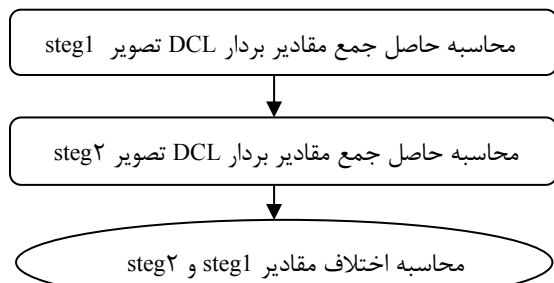
تصاویر متعددی از طیف رنگ متفاوت و حوزه ویژگی‌هایی که استخراج شده، ساخته شده که بسیار گستردۀ و متعدد می‌باشند. برخی از ویژگی‌های استخراج شده کوچک هستند در حالی که برخی دیگر بسیار زیاد هستند. محدوده گستردۀ و متعدد، جداسازی تصویر کاور از تصویر Stego را دشوار می‌سازد. برای حل این مشکل دو ویژگی جدید از تصاویر به عنوان عامل‌های آشکارسازی با استفاده از بردارهای هم‌رخدادی (DCL) استخراج گردیده است. در مرحله قبل ویژگی‌ها از ماتریس GLCM استخراج شده بودند بردار DCL از ماتریس هم‌رخدادی حاصل می‌گردد، به عنوان مثال یک بردار (1×7) تعداد رخداد ۷ ویژگی مؤثر میزان تفاوت بین سطوح خاکستری پیکسل‌های همسایه در تصویر را معلوم می‌کنند. شکل (۷) استخراج هفت



شکل (۷): تشکیل بردار DCL از ماتریس هم‌رخدادی استخراج ویژگی ۲ از ماتریس GLCM



شکل (۹): استخراج ویژگی ۴ از بردار DCL



شکل (۸): استخراج ویژگی ۳ از بردار DCL

سپس به روش تبدیل موجک، اطلاعاتی در تصویر لنا مخفی شده و این تصویر "imagesteg1" نامیده می‌شود. درنهایت مجددً اطلاعاتی در "imagesteg1" ذخیره می‌شود و تصویر "imagesteg2" ساخته می‌شود. در "imagesteg2" DCL بدستآمده و مجموع مقادیر این بردار محاسبه می‌شود. در مرحله بعد تفاوت مجموع مقادیر دو تصویر لنا و "imagesteg1" و همچنین دو تصویر "imagesteg1" و "imagesteg2" برای تصویر استاندارد شکل (۱۰) محاسبه می‌گردد.

معادله (۱) نحوه تشکیل بردار DCL آورده شده است.

$$DCL(k) = \sum_{i,j} GLCM(i,j), if i - j = k \text{ and } k = 1, 2, \dots, 7 \quad (4)$$

در این روش، ارزش عددی هر پیکسل و پیکسل همسایه‌اش اساس کار نیست، در این روش میزان واحد تغییر بین هر پیکسل و پیکسل همسایه‌اش حائز اهمیت است. به همین ترتیب دو ویژگی دیگر (ویژگی ۳، ویژگی ۴) از تصاویر اصلی و با پنهان‌نگاری استخراج گردید (شکل‌های ۸ و ۹). درنتیجه بعد از محاسبه ویژگی‌های ۱ و ۲ در تصویر لنا، بردار DCL را محاسبه کرده و مجموع مقادیر بردار به دست می‌آید.



Image



imagesteg1



imagesteg2

شکل (۱۰): تصویر home (imagesteg2,imagesteg1,Image)

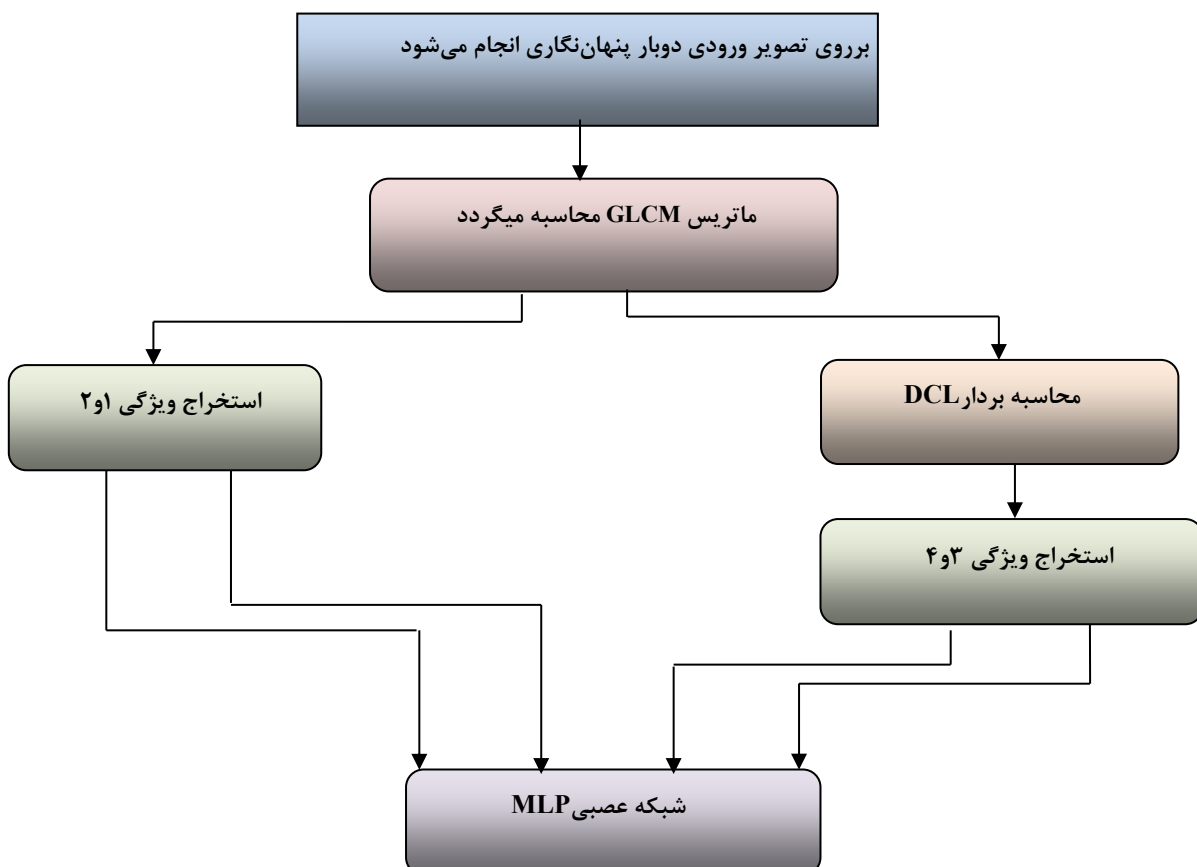
مقادیر DCL تصاویر لنا، "imagesteg1" و "imagesteg2" برای تصویر "home" محاسبه و در جدول (۳) ذکر شده است.

جدول (۳): نتیجه ویژگی‌های استخراج شده از بردار DCL

	مجموع مقادیر قطر اصلی برای تصویر لنا
۳۵۶/۱۹	مجموع مقادیر قطر اصلی برای تصویر "imagesteg1"
۵۲۷/۸۶	مجموع مقادیر قطر اصلی برای تصویر "imagesteg2"
۵۳۰/۱۵	(ویژگی ۱) تفاوت مجموع مقادیر در دو تصویر لنا و "imagesteg1"
۱۷۱/۶۷	(ویژگی ۲) تفاوت مجموع مقادیر در دو تصویر "imagesteg2" و "imagesteg1"
۲/۲۹	

تصویر² "imagesteg" بزرگ باشد و اگر این عامل کوچک باشد، آنگاه اختلاف بین "تصویر¹" و تصویر² "imagesteg" کوچک خواهد بود. عامل‌های آشکارسازی برای ۲۰۰ تصویر (۱۰۰ تصویر کاور و ۱۰۰ تصویر با پنهان‌نگاری) محاسبه گردید. درنهایت می‌توان الگوریتم تشخیص تصاویر پنهان‌نگاری شده به روش تبدیل موجک را به صورت شکل (۱۱) بیان نمود.

به‌این‌ترتیب عامل آشکارسازی از تصویر کاور ویژگی ۳ و عامل آشکارسازی از تصویر با پنهان‌نگاری ویژگی ۴ انتخاب گردید. بنابراین اگر ویژگی ۳ بزرگ باشد آنگاه انتظار داریم که اختلاف بین "تصویر کاور و تصویر¹" بزرگ باشد و اگر این عامل کوچک باشد، آنگاه اختلاف بین "تصویر کاور و تصویر¹" کوچک خواهد بود. همچنین اگر ویژگی ۴ بزرگ باشد آنگاه انتظار داریم که اختلاف بین "تصویر¹" و "تصویر²" باشد.

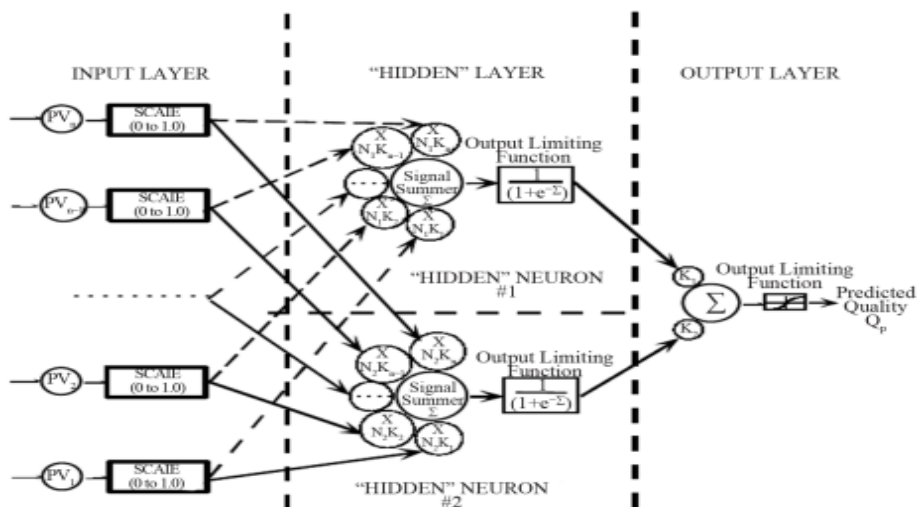


شکل (۱۱): الگوریتم تشخیص تصویر پنهان‌نگاری شده

واحدهای لایه ورودی صرفاً وظیفه توزیع مقداری ورودی را به لایه بعد بر عهده‌دارند. و هیچ‌گونه تأثیری بر روی سیگنال‌های ورودی ندارند. بهمین دلیل در شمارش تعداد لایه‌ها به حساب نیامده‌اند. شبکه شامل یک لایه خروجی است که پاسخ سیگنال‌های ورودی را ارائه می‌دهد. که تعداد نرون‌ها در لایه ورودی و لایه خروجی برابر با تعداد ورودی‌ها و خروجی‌ها است و لایه‌یا لایه‌ای پنهان وظیفه ارتباط دادن لایه ورودی به لایه خروجی را بر عهده‌دارند^[۱۳]. شبکه با داشتن این لایه‌های پنهان قادر می‌گردد که روابط غیرخطی را از داده‌های ارائه شده به شبکه استخراج کند. شکل (۱۲) شبکه عصبی چندلایه MLP را نشان می‌دهد.

۶- تحلیل با استفاده از شبکه عصبی چندلایه MLP

در شبکه عصبی نرون‌ها به صورت طبیعی به روش خاصی اتصال می‌یابند تا یک شبکه عصبی را تشکیل دهند نحوه اتصال نرون‌ها می‌تواند به‌گونه‌ای باشد که شبکه تک لایه یا چندلایه باشد. شبکه‌های چندلایه از یک لایه ورودی، یک لایه خروجی و یک یا چند لایه بین آن‌ها (لایه پنهان) که مستقیماً به داده‌های ورودی و نتایج خروجی متصل نیستند تشکیل یافته‌اند^[۱۲].



شکل (۱۲): شبکه عصبی چندلایه MLP

است که مشخص می‌کند که آیا تصویر با پنهان‌نگاری است یا خیر؛ ویژگی‌ها برای ۱۰۰ تصویر اولیه به دست آورده شده و از ۷۵ تصویر به عنوان ورودی (آموزش) شبکه عصبی ۴ لایه استفاده گردید و از ۲۵ تصویر به عنوان تست استفاده شد. در جدول (۴) به مقایسه دقیق آشکارسازی روش پیشنهادی و مقایسه آن با سایر روش‌ها پرداخته شده است.

در این مقاله از شبکه عصبی چندلایه (MLP) به عنوان تحلیل‌کننده استفاده شده است. شبکه عصبی چندلایه یک مولد شبکه عصبی مصنوعی با تغذیه مستقیم است که دسته‌های داده‌های ورودی را روی دسته خروجی مناسب ترسیم می‌کند. شبکه مورد آزمایش دارای ۴ لایه است که یک لایه ورودی، دو لایه پنهان و یک لایه خروجی دارد. تعداد نرون‌های لایه ورودی ۴ است که برابر با تعداد ویژگی‌ها است و تعداد درون‌های لایه خروجی ۱

جدول (۴): مقایسه دقیق آشکارسازی روش پیشنهادی با سایر روش‌ها

روش	میزان تشخیص روش پیشنهادی
Steganalysis of DWT Based Steganography Technique for SD and HD Videos[14]	۵۶/۶٪
Unsupervised Steganalysis Based on Artificial Training Sets [16]	۷۸٪
Steganalysis based on steganography pattern discovery [17]	۷۹٪
New steganalysis method using glcm and neural network [18]	۸۰٪
Particle Swarm Optimization based feature selection with novel fitness function for image steganalysis [20]	۶۲/۸٪
Steganalysis: breaking highly undetectable steganography [21]	۸۵٪
Compact image steganalysis for LSB-matching steganography [22]	۷۲/۸٪
روش پیشنهادی	۹۰٪

- [9] C. Rafael Gonzalez, "Digital Image Processing using Matlab", Pearson Prentice Hall, 2004.
- [10] Bo Yang and Beixing Deng, "Steganography in Gray Images Using Wavelet", Department of Electronic Engineering, Tsinghua University, Beijing, China, 2005.
- [11] S. Ghanbari, "New Steganalysis Method using GLCM and Neural Network" International Journal of Computer Applications, March 2012.
- [12] S. Talati and M. R. Hassani Ahangar, "Analysis, Simulation and Optimization of LVQ Neural Network Algorithm and Comparison with SOM", Majlesi Journal of Telecommunication Devices, 9(1), pp. 17-22, 2020.
- [13] Talati, S., and M. R. Hasani Ahangar. "Radar data processing using a combination of principal component analysis methods and self-organizing and digitized neural networks of the learning vector." *Electronic and Cyber Defense* 9.2 (2021): 1-7.
- [14] M. Dalal and M. Juneja, "Steganalysis of DWT Based Steganography Technique for SD and HD Videos". *Wireless Pers Commun* 128, pp. 2441–2452, 2023.
- [16] D. Lerch-Hostalot and D. Megías, "Unsupervised Steganalysis Based on Artificial Training Sets." *Engineering Applications of Artificial Intelligence*, vol. 50, pp. 45-59 2016. <https://doi.org/10.1016/j.engappai.2015.12.013>.
- [17] H. Sajedi, "Steganalysis based on steganography pattern discovery," *Journal of Information Security and Applications*, vol. 30, pp. 3–14, 2016.
- [18] S. Ghanbari, "New steganalysis method using glem and neural network," *International Journal of Computer Applications*; vol. 42(7), pp. 46–50, 2012.
- [20] Rostami V, Khiavi AS. "Particle Swarm Optimization based feature selection with novel fitness function for image steganalysis". In: Artificial intelligence and robotics, 2016. p. 109–14.
- [21] (HUGO), "Steganalysis: breaking highly undetectable steganography," Lecture notes in computer science (including subseries on lecture notes in artificial intelligence lecture notes in bioinformatics (LNCS)), vol. 6958, pp. 71–84, 2011.
- [22] O. Juarez-Sandoval, "Compact image steganalysis for LSB-matching steganography". In: Proceedings-2017 5th international work- shop on biometrics and forensics, (IWBF 2017), pp. 1–6, 2017.
- [23] S. Talati, A. Rahmati, and H. Heidari, "Investigating the Effect of Voltage Controlled Oscillator Delay on the Stability of Phase Lock Loops", MJTD, vol. 8, no. 2, pp. 57-61, 2019.
- [24] S. Talati and M. R. Hassani Ahangar, "Combining Principal Component Analysis Methods and Self-Organized and Vector Learning Neural Networks for Radar Data", Majlesi Journal of Telecommunication Devices, vol. 9(2), pp. 65-69, 2020.
- [25] M. R. Hassani Ahangar, S. Talati, A. Rahmati, and H. Heidari, "The Use of Electronic Warfare and Information Signaling in Network-based Warfare". Majlesi Journal of Telecommunication Devices, vol. 9(2), pp. 93-97, 2020.
- [26] M. Aslinezhad, O. Mahmoudi, and S. Talati, "Blind Detection of Channel Parameters Using Combination of the Gaussian Elimination and Interleaving," Majlesi Journal of Mechatronic Systems, vol. 9(4), pp. 59-67, 2020.
- [27] S. Talati and A. Amjadi, "Design and Simulation of a Novel Photonic Crystal Fiber with a Low Dispersion Coefficient in the Terahertz Band". Majlesi Journal of Mechatronic Systems, vol. 9(2), pp. 23-28, 2020.
- [28] S. Talati, S. M. Alavi, and H. Akbarzade, "Investigating the Ambiguity of Ghosts in Radar and Examining the Diagnosis and Ways to Deal with it," Majlesi Journal of Mechatronic Systems, vol. 10(2), 2021.
- [29] P. Etezadifar and S. Talati, "Analysis and Investigation of Disturbance in Radar Systems Using New Techniques of Electronic Attack," Majlesi Journal of Telecommunication Devices, 10(2), pp. 55-59, 2021.
- [30] S. Talati, B. Ebadi, and H. Akbarzade "Determining of the fault location in distribution systems in presence of distributed generation resources using the original post phasors," QUID 2017, pp. 1806-1812, Special Issue No.1- ISSN: 1692-343X, Medellin-Colombia. April 2017.

۷- نتیجه‌گیری

همزمان با پیشرفت پنهان‌سازی اطلاعات، علم تحلیل پنهان‌سازی نیز به سرعت در حال پیشرفت است و هر روز روش‌های جدیدتری به وجود می‌آیند. این روش‌ها اهداف گوناگونی همچون تشخیص وجود پیام یا تشخیص و آشکارسازی پیام و در مراحل بالاتر تشخیص، آشکارسازی و حذف و جایگزینی پیام را دنبال می‌کنند. در این مقاله از روش پنهان‌سازی اطلاعات در سیگنال‌های تصویر، به روش تبدیل موجک الگوریتمی استفاده شده که نتایج نشان از مقاومت بالای این روش می‌داد.

برای تحلیل تصاویر پنهان‌نگاری شده به روش تبدیل موجک الگوریتمی با استفاده از ویژگی‌های ماتریس GLCM و بردارهای هم‌خدای DCL برخی از مقدادر در تصاویر کاور و اصلی ارائه شد و ویژگی‌هایی که بین این تصاویر متفاوت هستند استخراج گردید. ویژگی‌ها برای آموزش شبکه عصبی استفاده شد و مراحله طبقه‌بندی با استفاده از لایه‌های شبکه عصبی چندلایه (MLP) انجام شد.

الگوریتم پیشنهادی برای پایگاه داده ۲۰۰ تصویر استاندارد (Casia-) Iris) تست شد و نتایج جدول (۴) نشان‌دهنده میزت این روش نسبت به سایر روش‌های بررسی شده است؛ چراکه دقت روش پیشنهادی ۹۰٪ آشکارسازی تصاویر با پنهان‌نگاری بوده که بالاتر از بیشترین مقدار دقت در مقالات (۸۷/۲٪) است.

۸- مراجع

- [1] De Rosal Ignatius Moses Setiadi, "Digital image steganography survey and investigation (goal, assessment, method, development, and dataset)" *Signal Processing*, vol. 206, May 2023.
- [2] Pratap Chandra Mandal, Imon Mukherjee, Goutam Paul, B. N. Chatter "Digital image steganography: A literature survey" *Information Sciences* vol. 609, pp. 1451-1488, September 2022.
- [3] B. F. Alatiyyat and N. C, "Survey on Image Steganography Techniques" 2nd International Conference on Computing and Information Technology (ICCIT), Tabuk, Saudi Arabia, 2022, pp. 57-64, doi: 10.1109/ICCIT52419.2022.9711651.
- [4] Saeid Fazli, Maryam Zolfaghari-Nejad, "A New Steganalysis Method for Steganographic Images on DWT Domain" *International Journal of Science and Engineering Investigations*, March 2012, Vol. 1.
- [5] Trivikram Muralidharan, "The infinite race between steganography and steganalysis in images", *Signal Processing*, vol. 201, December 2022.
- [6] S. Talati and P. Etezadifar, "Providing an Optimal Way to Increase the Security of Data Transfer using Watermarking in Digital Audio Signals" *Majlesi Journal of Telecommunication Devices*, 9(1), pp. 35-46, 2020.
- [7] S. Talati, P. EtezadiFar, M. R. Hassani Ahangar, and M. Molazade, "Investigation of Steganography Methods in Audio Standard Coders: LPC, CELP, MELP" *Majlesi Journal of Telecommunication Devices*, 12(1), pp. 7-15, 2023, doi: 10.30486/mjtd.2022.695928.
- [8] I. R. Farah, I. B. Ismail, and M. B. Ahmed, "A Watermarking System Using the Wavelet Technique for Satellite Images", *Word Academy of Science, Engineering and Technology*, vol. 17, Dec. 2006. ISSN 1307-6884.

- [38] S. Talati, et al., "Analysis and Evaluation of Increasing the Throughput of Processors by Eliminating the Lobe's Disorder," Majlesi Journal of Telecommunication Devices 10.3, pp. 119-123, 2021.
- [39] S. Talati, S. M. Ghazali, M. R. Hassani Ahangar, and S. M. Alavi, "Analysis and Evaluation of Increasing the Throughput of Processors by Eliminating the Lobe's Disorder," Majlesi Journal of Telecommunication Devices, vol. 10(3), pp. 119-123, 2021. doi: 10.52547/mjtd.10.3.119
- [40] S. Talati, A. Rahmati, and H. Heidari, "Investigating the Effect of Voltage Controlled Oscillator Delay on the Stability of Phase Lock Loops", MJTD, vol. 8, no. 2, pp. 57-61, May 2019.
- [41] S. Talati and P. EtezadiFar, "Electronic attack on radar systems using noise interference," Majlesi Journal of Mechatronic Systems 10.3, pp. 7-11, 2021.
- [42] S. M. Ghazali, J. Mazloum, and Y. Baleghid, "Modified binary salp swarm algorithm in EEG signal classification for epilepsy seizure detection," Biomedical Signal Processing and Control, vol. 78, September 2022, 103858.
- [43] S. Talati, S. M. Ghazali, V. R. SoltaniNia, "Design and construct full invisible band metamaterial-based coating with layer-by-layer structure in the microwave range from 8 to 10 GHz," Journal of Physics D: Applied Physics, vol. 56, no. 17, 2023. DOI 10.1088/1361-6463/acb8c7.
- [44] M. R. Hasani Ahangar and M. Mohammadi, "Evaluation of Efficient Factors on Quality of Service in Routing Protocols," Passive Defense Quarterly, no. 3, vol. 3, 2012.
- [31] S. Talati and S. M. Alavi "Radar Systems Deception using Cross-eye Technique," Majlesi Journal of Mechatronic Systems, vol. 9(3), pp. 19-21, 2020.
- [32] S. Talati, M. Akbari Thani, and M. R. Hassani Ahangar, "Detection of Radar Targets Using GMDH Deep Neural Network", Radar Journal, vol. 8 (1), pp. 65-74, 2020.
- [33] S. Talati, R. Abdollahi, V. Soltaninia, and M. Ayat, "A New Emitter Localization Technique Using Airborne Direction Finder Sensor," Majlesi Journal of Mechatronic Systems, vol. 10(4), pp. 5-16, 2021.
- [34] H. Akbarzade, S. M. Alavi, and S. Talati, "Investigating the Ambiguity of Ghosts in Radar and Examining the Diagnosis and Ways to Deal with it," Majlesi Journal of Mechatronic Systems, vol. 10.2, pp. 17-20, 2021.
- [35] S. M. Hashemi, S. Barati, S. Talati, and H. Noori, "A genetic algorithm approach to optimal placement of switching and protective equipment on a distribution network." J. Eng. Appl. Sci. vol. 11, pp. 1395-1400, 2016.
- [36] O. Sharifi-Tehrani and S. Talati, "PPU Adaptive LMS Algorithm, a Hardware-Efficient Approach; a Review on", Majlesi Journal of Mechatronic Systems, vol. 6, no. 1, Jun. 2017.
- [37] S. Hashemi, & M. Abyari, Sh. Barati, S. Tahmasebi, and S. Talati, "A proposed method to controller parameter soft tuning as accommodation FTC after unknown input observer FDI," Journal of Engineering and Applied Sciences, vol. 11, pp. 2818-2829, 2016.